

บทที่ 3

รายละเอียดการทดลอง

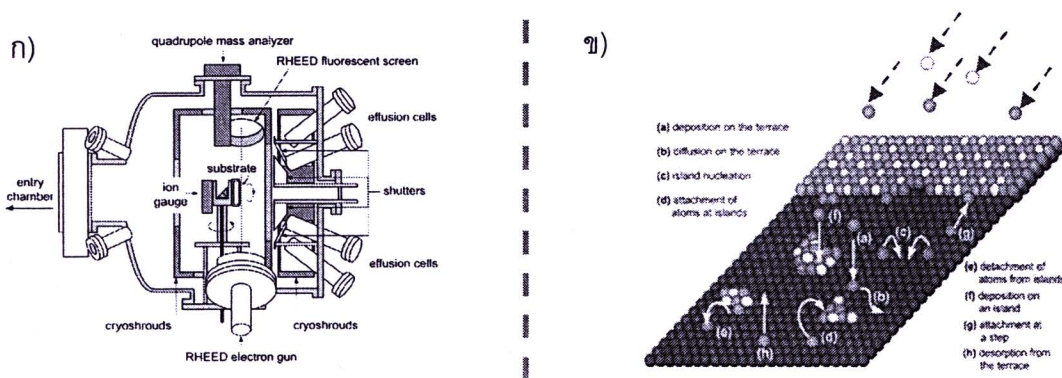
รายละเอียดการทดลองที่จะอธิบายในบทนี้ประกอบไปด้วยเครื่องมือที่ใช้ในการทดลอง ได้แก่ เอพิเทกซีแบบลำโมเลกุล (Molecular beam epitaxy) และเครื่องมือต่างๆที่ใช้ในการวัดและวิเคราะห์ผล โดยจะอธิบายการทำงานของเครื่องมือต่างๆโดยละเอียด พร้อมกันนี้ยังแสดงขั้นตอนทั้งหมดที่กระทำเพื่อให้ได้ชิ้นงานที่สมบูรณ์

3.1 เครื่องมือที่ใช้ในการทดลอง

3.1.1 เอพิเทกซีแบบลำโมเลกุล (Molecular beam epitaxy) (MBE)

เอพิเทกซีแบบลำโมเลกุลหรือ MBE เป็นเครื่องมือปลูกชั้นฟิล์ม (film) บางที่ทันสมัยและมีความยืดหยุ่นสูง สามารถเลือกใช้สารในกระบวนการได้อย่างหลากหลาย กระบวนการปลูกทั้งหมดควบคุมโดยเครื่องมือที่มีความแม่นยำ อีกทั้งยังสามารถวิเคราะห์สภาพผิวน้ำร้อนถึงสภาพแวดล้อมได้อย่างทันที

3.1.1.1 หลักการทำงาน



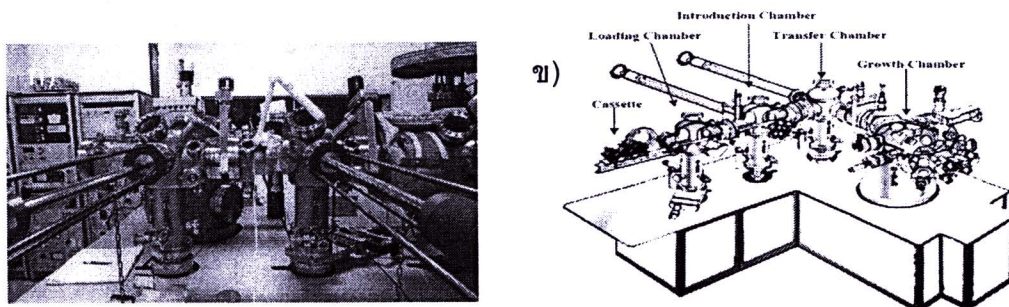
รูปที่ 3.1 ก) ภาพตัดขวางแสดงส่วนประกอบภายในห้องปลูกผลึก และ ข) หลักการทำงานโดยคร่าวๆของเครื่อง MBE [61]

ภายในเครื่องดังแสดงในรูปที่ 3.1 ก) ประกอบไปด้วยเบ้าหลอมเล็กๆที่บรรจุสาร สารแต่ละชนิดที่ถูกบรรจุอยู่ในเบ้าหลอมจะถูกเลือกและกำหนดอุณหภูมิอย่างเหมาะสมเพื่อให้เกิดลำโมเลกุลของสารเมื่อทำการปลูกสารในลักษณะของลำโมเลกุลจะถูกปล่อยออกไปยังชั้นเตรตภายในได้สภาวะสุญญากาศ

อะตอมหรือโมเลกุลของสารเมื่อไปถึงขั้บสเตตรอะตอมของสารจะเกิดการเคลื่อนที่และถ่ายเทพลังงาน จลน์ (kinetic energy) บนผิวน้ำขั้บสเตตร จากนั้นเมื่อพลังงานลดลง จะเกิดการก่อตัวบริเวณ nucleation site ทำให้เกิดชั้นฟิล์มบางของสารขึ้นบนขั้บสเตตรดังในรูปที่ 3.1 ฯ) โดยชั้นฟิล์มที่เกิดขึ้นมี อัตราการเกิดที่ซ้ำมาก (ในหน่วย ML/s) ทำให้สามารถควบคุมความหนาได้อย่างแม่นยำและขั้นของสาร ที่ได้มีความเรียบสูง

3.1.1.2 ลักษณะโดยทั่วไปของเครื่อง MBE

ชิ้นงานที่ใช้ในวิทยานิพนธ์ฉบับนี้ทั้งหมดจะปลูกโดยเครื่อง RIBER 32P solid source MBE ระบบโดยทั่วไปของเครื่องเมื่อมองจากภายนอกประกอบไปด้วย 4 ห้อง (chamber) เชื่อมติดกัน ได้แก่ ห้องบรรจุ (Loading chamber), ห้องอินโทรดักชัน (Introduction chamber), ห้องส่งผ่าน (Transfer chamber) และ ห้องปลูก (Growth chamber) ดังแสดงในรูปที่ 3.2 ทั้ง 4 ห้อง มีหน้าที่ที่สำคัญดังนี้

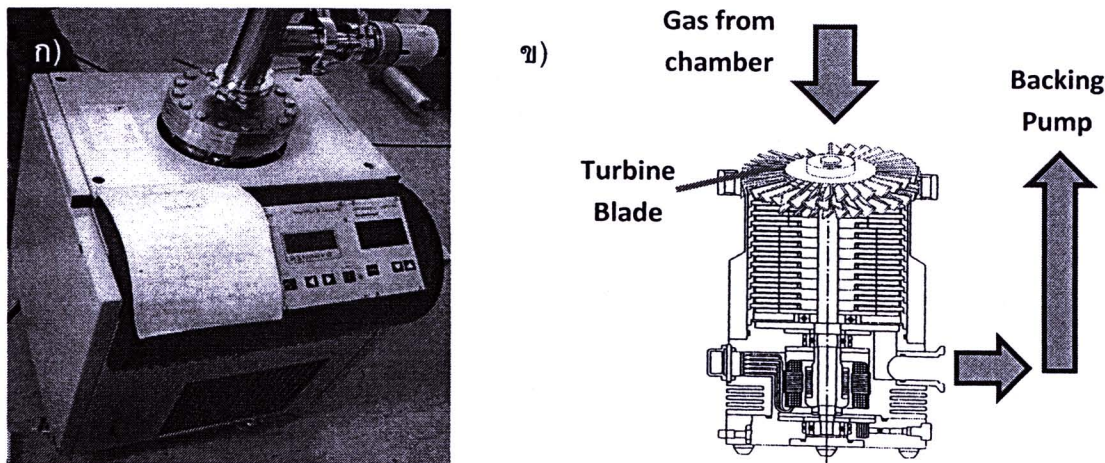


รูปที่ 3.2 ก) ภาพถ่าย และ ข) โครงสร้างระบบปลูกผลึกของเครื่องปลูกจำโนเลกุล RIBER รุ่น 32P

ห้องบรรจุ (Loading chamber)

เป็นทางเข้าออกของชิ้นงานจากภายนอกสู่ตัวเครื่อง ในห้องนี้ประกอบไปด้วยวาล์วก๊าซ ในไตรเจน (Nitrogen gas valve) และปั๊มนีโนเลกุลเทอร์โบ (Turbo molecular pump) แยกกันทำงานตอน นำเข้าหรือนำออกของชิ้นงานจากตัวเครื่อง สำหรับวาล์วก๊าซในไตรเจนทำห้องหน้าที่เปิดให้ก๊าซ ในไตรเจนเข้าสู่ห้องบรรจุเพื่อปรับความดันให้เท่ากับภายนอก ซึ่งจะใช้งานเมื่อต้องการเปิดฝาของห้องบรรจุออกสู่ภายนอก สำหรับปั๊มนีโนเลกุลเทอร์โบจะใช้หลังจากปิดฝาห้องบรรจุหลังจากเชื่อมต่อจาก ภายนอก ปั๊มนีโนเลกุลเทอร์โบจะทำการดูดอากาศออกจากห้องบรรจุเพื่อปรับความดันให้เหมาะสมก่อน จะเปิดเชื่อมต่อกับห้องอินโทรดักชันซึ่งอยู่ติดกัน ปั๊มนีโนเลกุลเทอร์โบมีลักษณะทั่วไปและส่วนประกอบดัง แสดงในรูปที่ 3.3 ประกอบไปด้วยโรเตอร์ (rotor) และ สเตเตอร์ (stator) ประกอบคู่กัน ขณะทำงานเครื่อง จะดูดก๊าซหรืออากาศเข้าไปในเครื่อง โรเตอร์ซึ่งประกอบไปด้วยใบพัดเล็กๆจำนวนมากจะเพิ่ม โมเมนตัม (momentum) ให้กับโนเลกุลของก๊าซที่ดูดเข้าไป โนเลกุลของก๊าซจะมีความเร็วมากขึ้นเมื่อผ่าน

ใบพัดและจะวิงออกไปยังรูปลอยก้าชที่อยู่ในสเตเตอร์ ก้าชในห้องจึงถูกดูดออกจากอย่างรวดเร็วมีผลให้ความดันภายในห้องลดลงในที่สุด



รูปที่ 3.3 ก) ภาพเครื่องปั๊มนิเลกุลเทอร์โน และ ข) หลักการทำงานเบื้องต้น [62]

ห้องอินโตรดักชัน

เป็นห้องที่ใช้สำหรับทำความสะอาดชิ้นงานโดยการให้ความร้อนเบื้องต้น (Pre-heat) ภายใต้เครื่องมีแชนแม่เหล็ก (magnetic arm) ใช้สำหรับหยิบจับชิ้นงานไปยังตำแหน่งของห้องให้ความร้อนเบื้องต้น ภายใต้ห้องดังกล่าวประกอบไปด้วยยีตเตอร์ (heater) เป็นตัวที่ให้ความร้อนแก่ชิ้นงานเพื่อให้สิ่งสกปรกระเหยหลุดออกไป

ห้องส่งผ่าน

เป็นห้องสำหรับพากเก็บชิ้นงานก่อนส่งต่อไปยังห้องปั๊ก ภายใต้ประกอบไปด้วยแชนแม่เหล็กใช้สำหรับบรรจุหรือถ่ายเทชิ้นงานจากห้องบรรจุชิ้นงานไปยังตำแหน่งของห้องบรรจุชิ้นงานบนมานิพูลเตอร์ (manipulator) ภายใต้ห้องปั๊กสำหรับการปั๊ก

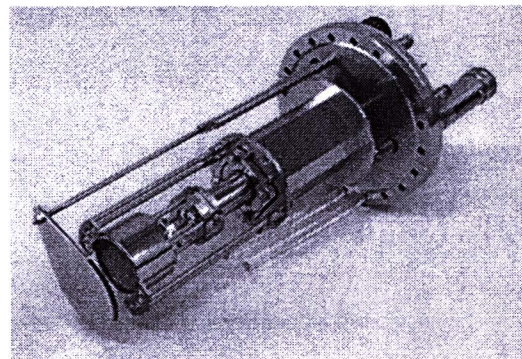
ห้องปั๊ก

การปั๊กทั้งหมดที่เกิดขึ้นจะอยู่ภายใต้ห้องนี้ ภายใต้ประกอบไปด้วยอุปกรณ์ต่างๆ ที่สำคัญดังนี้คือ

1. ชั้บสเตต์มานิพูลเตอร์ (Substrate manipulator)

ลักษณะทั่วไปของชั้บสเตต์มานิพูลเตอร์ดังแสดงในรูปที่ 3.4 ทำหน้าที่เป็นแท่นวางของชิ้นงานในการปั๊ก สามารถปรับองศาของแท่นวางได้แบบ 3 มิติ พร้อมกันนี้ยังสามารถตรวจสอบอุณหภูมิของชิ้นงานผ่านทางเทอร์โมคัปเปล (Thermocouple) และควบคุมอุณหภูมิชิ้นงานผ่านทางยีตเตอร์ นอกเหนือจากนี้

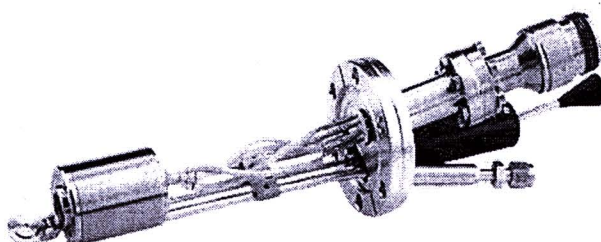
แท่นวางชิ้นงานยังสามารถหมุนได้ 360° ผ่านทางมอเตอร์ (motor) การหมุนของชิ้นงานเป็นไปเพื่อให้ลำโมเลกุลของสารตกใส่พิวของชิ้นงานได้อย่างสม่ำเสมอ ที่บริเวณด้านหน้าของตัวจัดแนวยังมีแผ่นชั้ดเตอร์ สามารถปิดได้เมื่อไม่ต้องการให้ลำโมเลกุลตกกระทบชิ้นงาน



รูปที่ 3.4 ลักษณะทั่วไปของขับสเตรตมานิพูลเตอร์ [63]

2. Effusion cell

เป็นที่บรรจุสารที่ใช้ในการปลูก เช่น Ga, In และ As ในรูปของแข็ง เมื่อใช้งานสารที่บรรจุอยู่จะถูกทำให้ร้อนขึ้นด้วยความร้อนที่พันอยู่รอบๆ จากของแข็งสารจะระเหิดเปลี่ยนตัวเองเป็นไอ ไอที่เกิดขึ้นจะถูกบังคับให้ออกสู่ภายนอกในช่องทางเล็กๆ เกิดเป็นลักษณะของลำโมเลกุลของสารซึ่งใช้ในการปลูกต่อไป ภายในห้องการปลูกมี Effusion cell มีทั้งหมด 9 เซลล์ (cell) แต่ละเซลล์จะมีชั้ดเตอร์ (shutter) กันเพื่อป้องกันสารลดออกมาก่อนจะยังไม่ใช้งาน ดังแสดงในรูปที่ 3.5



รูปที่ 3.5 ลักษณะทั่วไปของ Effusion cell [64]

3.1.1.3 ระบบสุญญาแก๊ส

การทำงานของเครื่อง MBE จำเป็นต้องทำงานภายใต้ระบบสุญญาแก๊ส ทุกห้องยกเว้นห้องบรรจุจะมีระบบปั๊มควบคุมให้ภายใต้เป็นสุญญาแก๊ส ระบบปั๊มดังกล่าวมี 2 ชนิดทำงานร่วมกัน ได้แก่

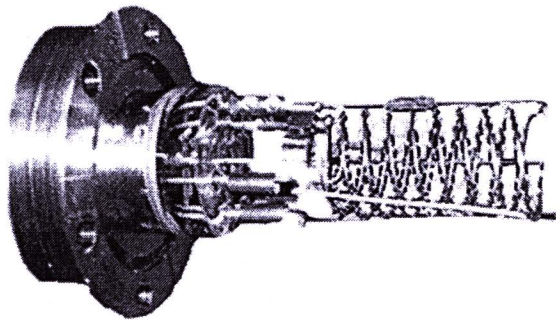
1. ปั๊มระเหิดไทเทเนียม (Titanium sublimation pump) ทำงานโดยการปล่อยกระแสไฟฟ้าแรงสูง (ประมาณ 40 Amps) แบบเป็นควบคู่ไปยังชุด漉ดไทเทเนียม (titanium) ด้วยกระแสไฟฟ้าดังกล่าวทำให้ไทเทเนียมบางส่วนบนชุด漉ดระเหิดออกมาก่อคลุมรอบๆ ห้องไทเทเนียมที่ระเหิดออกมามีคุณสมบัติที่ไวต่อปฏิกิริยาโดยเฉพาะกับก้าชที่หลงเหลืออยู่ในห้อง ซึ่งไทเทเนียมจะไปจับกับก้าชดังกล่าวแล้วเกิดเป็นสารประกอบของของแข็ง ซึ่งมีผลในการลดความดันในห้องต่างๆ
2. ไอออนปั๊ม (Ion pump) เป็นปั๊มอีกชนิดหนึ่ง ทำงานโดยทำให้ก้าชแตกตัวเป็นไอออนจากนั้นจึงใช้ศักย์ไฟฟ้าแรงสูงประมาณ 3-7 KV กว่าด้วยไอออนของก้าชดังกล่าวไปยังแผ่นข้าวไฟฟ้า ทำให้ก้าชในห้องลดน้อยลง ไอออนปั๊ม โดยทั่วไปสามารถทำให้เกิดสูญญากาศในห้องได้ในระดับ 10^{-11} mbar

3.1.2 In-situ measuring Equipment

ในการปลูกผลึกโดยเครื่อง MBE จำเป็นต้องอาศัยเครื่องมือวัดเพื่อปั่งบวกถึงลักษณะและสถานะโดยรวมของการปลูกที่เกิดขึ้น โดยเครื่องมือเหล่านี้จะติดตั้งภายในเครื่อง MBE เครื่องมือเหล่านี้ได้แก่ ระบบวัดความดัน, Reflection high-energy electron diffraction (RHEED) และ Quadrupole mass spectrometer

3.1.2.1 ระบบวัดความดัน

ความดันภายใน chamber ต่างๆ สามารถวัดได้โดยการใช้ hot filament ionization gauge (gauge) ชนิดนี้มีความว่องไวต่อการวัดความดันมากในระดับ 10^{-3} - 10^{-11} Torr ซึ่งหมายความว่าความดันภายในเครื่อง MBE ตัวอุปกรณ์ประกอบไปด้วย แท่งโลหะแค็国度 3 ชนิด ได้แก่ คอลเลกเตอร์ (collector), ฟิลาเมนต์ (filament) และกริด (grid) ดังแสดงในรูป 3.6 ตัวเกจจะทำงานโดยการจ่ายกระแสไฟฟ้าเข้าไปยังฟิลาเมนต์เพื่อปล่อยอิเล็กตรอนออกมานอกกริด อะลีกตرونที่เกิดขึ้นจะถูกดึงดูดโดยแท่งกริดซึ่งเรียงตัวคล้ายเกลียว ระหว่างทางที่อิเล็กตรอนจะเข้าไปยังแท่งกริด อิเล็กตรอนจะชนกับก้าชที่อยู่รอบๆ ตัวเกจ ทำให้ก้าชเหล่านี้แตกตัวเป็นไอออน ไอออนของก้าชเหล่านี้เนื่องจากมีประจุหรือไอออนจะถูกดึงดูดโดยแท่งคอลเลกเตอร์ตวงกลางซึ่งถูกทำให้เป็นประจุลบ เมื่อไอออนของก้าชเหล่านี้มาถึงแท่งคอลเลกเตอร์ กระแสไฟฟ้าจะเกิดขึ้นซึ่งมีค่ามากน้อยตามค่าความดันของก้าชรอบตัวเกจ จากนั้นจึงนำกระแสไฟฟ้าที่ได้ไปขยายและแปลงเป็นค่าความดันแสดงผลต่อไป นอกจากวัดค่าความดันทั่วไปในห้องต่างๆ แล้ว hot filament ionization gauge ยังใช้เป็นตัวอ้างอิงค่าฟลักซ์ (flux) ของลำไบเมเลกุลของสารที่ถูกปล่อยออกมานอกเซลล์ขณะปลูกอีกด้วย

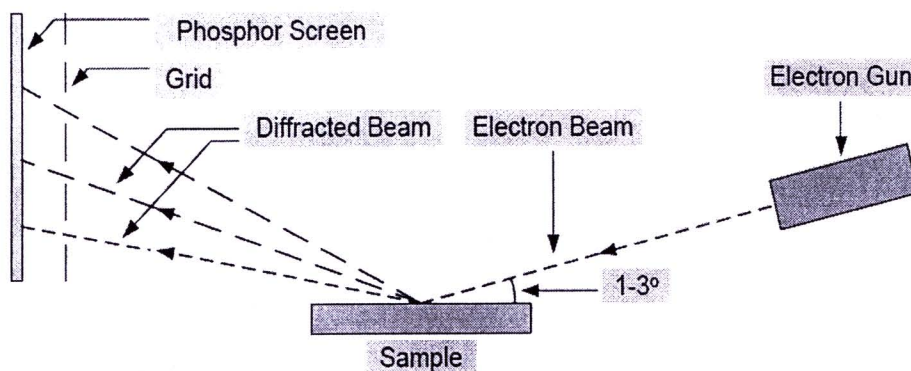


รูปที่ 3.6 ลักษณะทั่วไปของ hot filament ionization gauge ประกอบไปด้วยแท่งโลหะ 3 ชนิด

พิลาเมนต์, กริด และคอลเลกเตอร์ [65]

3.1.2.2 Reflection high-energy electron diffraction (RHEED)

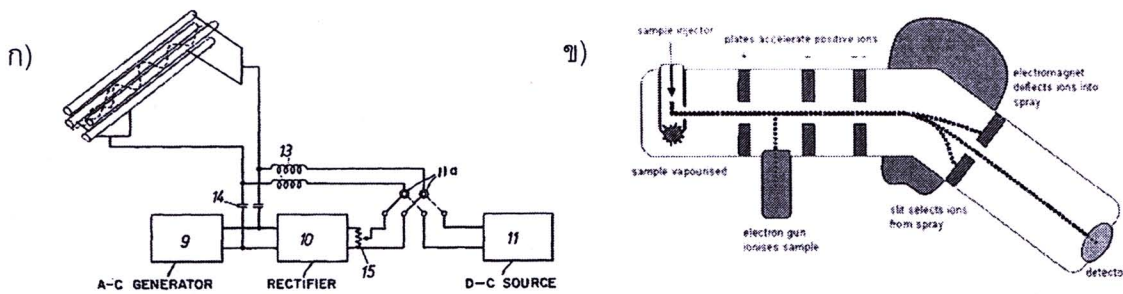
Reflection high-energy electron diffraction หรือ RHEED เป็นเครื่องมือที่ใช้สำหรับการวิเคราะห์โครงสร้างผิวน้ำ โดยการยิงลำอิเล็กตรอน ซึ่งสร้างโดยปืนอิเล็กตรอน (electron gun) ไปตกกระหบบนชิ้นงาน ดังรูปที่ 3.7 โดยลำอิเล็กตรอนซึ่งมีขนาดเล็กจะเกิดการสะท้อนกับโครงสร้างผลึกของชิ้นงานในระดับอะตอม แสงสะท้อนที่เกิดขึ้นจะไปตกกระหบบนจาฟอสฟอรัสและเกิดจุดสว่างขึ้น แต่เนื่องจากโครงสร้างผลึกหรือผิวน้ำที่แตกต่างกัน ทำให้เกิดการสะท้อนออกที่ไม่เท่ากัน แสงที่สะท้อนออกมาจึงเกิดการแพร่กระจาย เกิดเป็นແ展品 มีดีสว่างขึ้นบนจาฟอสฟอรัสในรูปแบบเฉพาะตัว รูปแบบของແ展品 มีดีสว่างที่เกิดขึ้นจึงสามารถใช้เป็นตัวบ่งบอกโครงสร้างผลึกผิวน้ำได้



รูปที่ 3.7 โครงสร้างของระบบ RHEED [66]

3.1.2.3 Quadruple mass spectrometer

Quadruple mass spectrometer เป็นเครื่องมือที่ใช้ในการวัดปริมาณของสารชนิดต่างๆภายในห้องปฏิบัติ ประกอบไปด้วย 3 ส่วน คือ ตัวกำเนิดไอออน (ion source), ตัววิเคราะห์มวล (mass analyzer) และตัวตรวจจับ (detector) ประกอบกันตามรูปที่ 3.8 ก) การทำงานของเครื่อง เริ่มจากสารที่หลุดเข้าไป



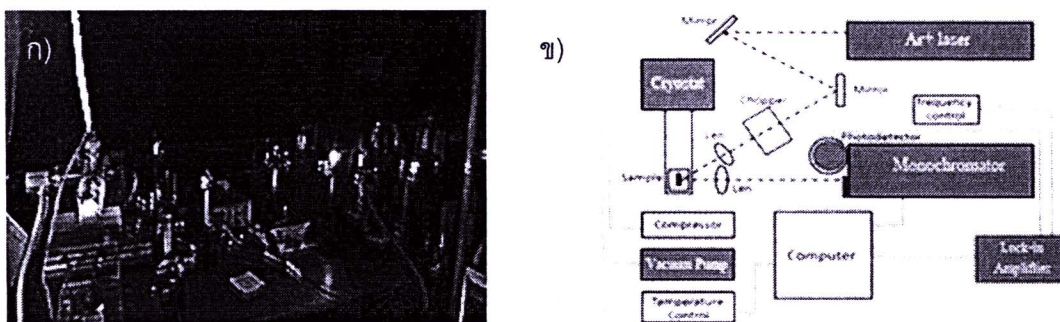
รูปที่ 3.8 ก) โครงสร้างและการทำงานโดยย่อของ Quadrupole mass spectrometer และ ข) วงจรการทำงานแห่งโลหะ 4 แห่งใน Quadrupole mass spectrometer [67,68]

จะถูกทำให้แตกตัวออกเป็นโมเลกุลที่มีช้าเล็กๆ ผ่านเข้าไประหว่างแห่งโลหะนานกัน 4 แห่ง (รูปที่ 3.8 ข)) โดยแห่งโลหะที่อยู่ตรงข้ามกันจะถูกเชื่อมต่อกันทางไฟฟ้าและทำการจ่ายแรงดันไฟฟ้ากระแสสลับที่มีความถี่เท่ากับคลื่นวิทยุร่วมกัน (superimpose) แรงดันกระแสตรง ขณะที่โมเลกุลที่มีช้าหรือไออ่อน (ion) ของสารเคลื่อนผ่านแห่งโลหะเหล่านี้จะเกิดการสั่นเรื้อร่องเนื่องจากสนามไฟฟ้าระหว่างแห่งโลหะ โดยไออ่อนที่มีค่ามวลต่อประจุ (m/z) ที่เหมาะสมเท่านั้นจึงจะเคลื่อนที่ผ่านไปยังตัวตรวจจับได้ ซึ่งตัวตรวจจับจะวัดและแปลงข้อมูลเป็นปริมาณสารรวมถึงชนิดของสารต่อไป นอกนั้นไออ่อนอื่นๆ จะถูกทำให้เคลื่อนที่ชนกับแห่งโลหะ การคัดเลือกสารต่างๆ จึงกระทำได้ตามแรงดันไฟฟ้าที่จ่ายให้กับแห่งโลหะ

3.2 เครื่องมือที่ใช้ในการวิเคราะห์ผล

3.2.1 โฟโตลูมิเนสเซนส์ (Photoluminescence)

โฟโตลูมิเนสเซนส์ หรือ PL คือการศึกษาการเปล่งแสงของของชิ้นงานเมื่อถูกกระตุ้นด้วยแสงเลเซอร์ลักษณะโดยทั่วไปของระบบวัด PL แสดงในรูป 3.9 ชิ้นงานจะถูกกระตุ้นให้เปล่งแสงโดยแสงเลเซอร์ Ar+ ที่มีความยาวคลื่น 477 nm ที่ผ่านกระบวนการช็อป (chop) ให้เป็นสัญญาณพัลส์ (pulse signal) และโฟกัสด้วยเลนส์ก่อนที่จะตกกระทบบนชิ้นงาน แสงที่ได้จากชิ้นงานจะถูกโฟกัสเข้าไปในไมโครเมเตอร์ (monochromator) จากนั้นโมโนโครเมเตอร์จะเพิ่มความเข้มแสงและถูกวัดพร้อมกับขยายสัญญาณเป็นสัญญาณไฟฟ้าโดยโฟโตมัลติไฟเออร์ (photomultiplier) จากนั้นจึงส่งสัญญาณและกรองผ่านโดยล็อก-อิน แอมป์ลิไฟเออร์ (lock-in amplifier) ซึ่งจะแสดงผลต่อไปบนคอมพิวเตอร์

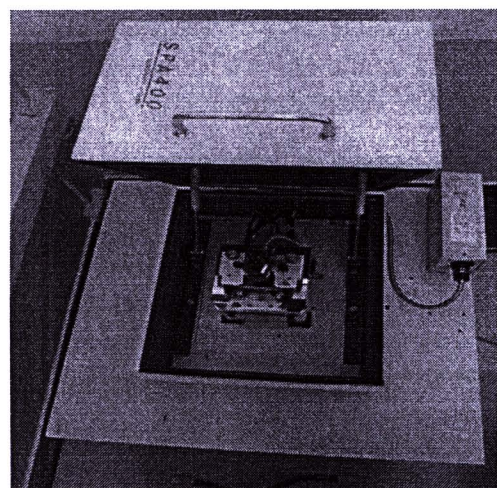


รูปที่ 3.9 ก) รูปถ่ายของระบบวัด PL ข) Schematic ของระบบวัด PL [69]

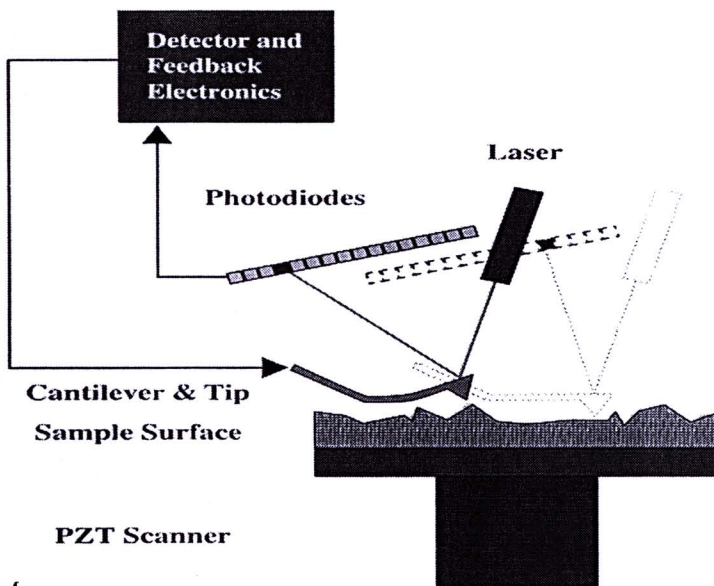
สำหรับการวัดสมบัติโพลาไรเซชัน (polarization) สามารถวัดได้โดยระบบ PL เดิมแต่ต้องดัดแปลงโดยการนำ แผ่น half-wave จะถูกวางไว้หน้าชิ้นงานเพื่อปรับทิศโพลาไรซ์ของแสงเลเซอร์ที่จะไปตกกระทบ แผ่นโพลาไรเซอร์ (polarizer) จะถูกวางไว้ระหว่างชิ้นงานและโมโนโครเมเตอร์ ในขั้นแรกจะมีการปรับจุนแสงที่ผ่านการโพลาไรซ์โดยโพลาไรเซอร์ ซึ่งทิศของโพลาไรเซอร์ที่วัดความเข้มได้มากที่สุดจะถูกตั้งให้เป็นจุดอ้างอิง ($\theta = 0$) จากนั้นแผ่นโพลาไรเซอร์จะถูกปรับเปลี่ยนไปในองศาต่างๆเพื่อจะกวดสเปกตรัมของ PL (PL spectrum) หรือบันทึกค่าความเข้มยอดพลังงานของ PL (PL energy peak) แสงที่ผ่านแผ่นโพลาไรเซอร์ในมุมต่างๆจะสอดคล้องกับกฎของมาลุส (Malus's law) สำหรับแสงโพลาไรซ์เชิงเส้น (linear polarized) ความเข้มของแสงจะเท่ากับ

$$I = I_0 \cos^2 \theta \quad (3.1)$$

3.2.2 กล้องจุลทรรศน์แรงดึงดูด (AFM)



รูปที่ 3.10 ภาพถ่ายของเครื่อง SEIKO SPA 400-AFM



รูปที่ 3.11 ภาพแสดงการทำงานอย่างง่ายของ AFM [70]

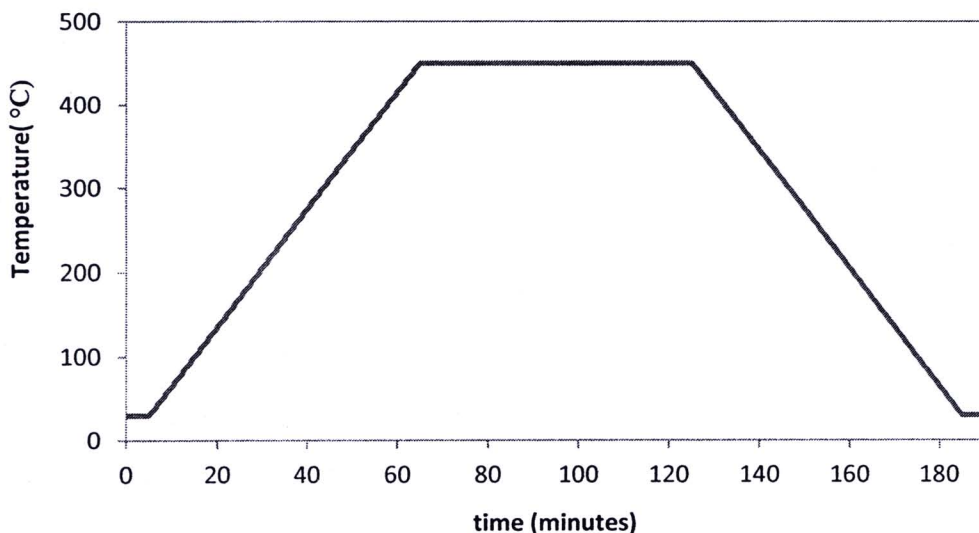
การวิเคราะห์สภาพผิวน้ำของชิ้นงานที่ได้จากการทดลองจะใช้เครื่อง SEIKO SPA 400-AFM (รูปที่ 3.10) ในโหมดแตะ (tapping) การทำงานของเครื่องจะประกอบไปด้วยคานยื่น (cantilever) ซึ่งตรงปลายจะมีติป (tip) แหลมขนาดเล็ก ดังแสดงในรูปที่ 3.11 คานยื่นจะทำจากซิลิคอนหรือซิลิคอนไนตริด (silicon nitride) ที่มีปลายแหลมขนาดเล็กมาก เมื่อหัวทิปกดผ่านผิวน้ำชิ้นงานที่มีความขุขระ หัวทิปจะมีการขับไปตามลักษณะของผิวน้ำที่ดำเนินต่อเนื่นๆ การขับของหัวทิปบ่งบอกถึงลักษณะทางกายภาพของผิวน้ำในบริเวณที่กดผ่าน ส่วนการแปลงเป็นข้อมูลลักษณะทางกายภาพของผิวน้ำนั้น จะใช้แสงเลเซอร์ยิงไปที่หัวทิปที่มีคุณสมบัติสะท้อนแสงเลเซอร์ได้ เมื่อหัวทิปมีการขับด้วยจับแสง (photodetector) จะตรวจจับความเข้มของแสงเลเซอร์ที่สะท้อนจากหัวทิปซึ่งเปลี่ยนแปลงไปตามการขับของหัวทิป ผลลัพธ์ที่ได้จากการตัดสินใจของจุดที่หัวทิปตั้งแต่เดิมไปจนถึงปัจจุบันจะแสดงภาพลักษณะทางกายภาพของผิวน้ำชิ้นงานจริงซึ่งมีขนาดเล็กมากได้ พร้อมทั้งบ่งบอกข้อมูลวัดที่สำคัญบางตัว เช่น ความสูง

3.3 การเตรียมชิ้นงาน

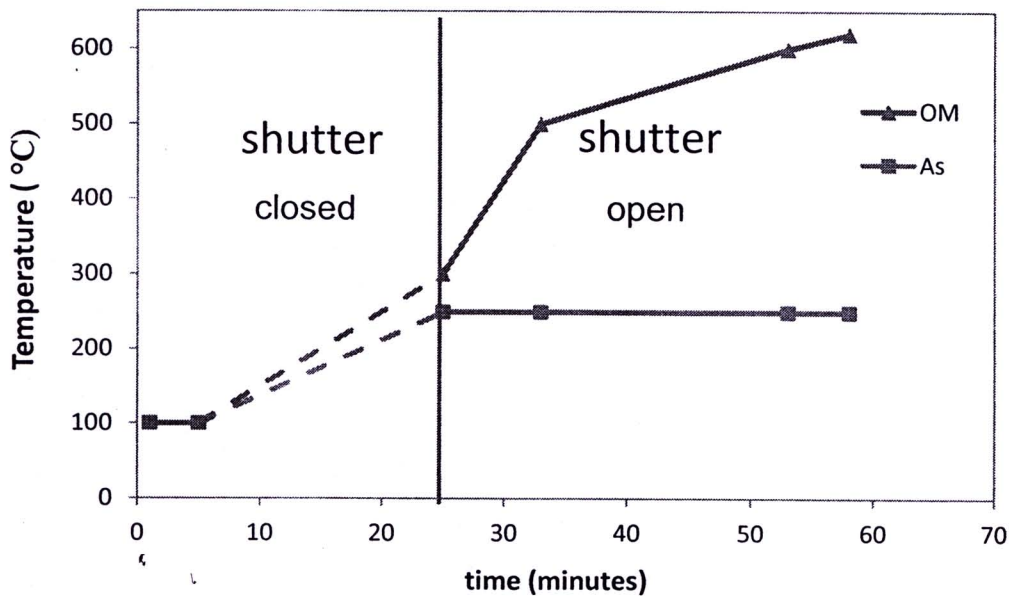
การเตรียมชิ้นงาน เริ่มต้นจากการติดขับสเต็ตช์ในที่นีคีอี GaAs (100) บนโมลิบดีนัมบล็อก (molybdenum block) ด้วยการอินเดียม จากนั้นจึงโหลด (load) ชิ้นงานเข้าเครื่องผ่านทางห้องบรรจุ โดยปั๊มนิเกลกุลเทอร์โบที่ติดอยู่กับห้องบรรจุจะทำงานเพื่อปรับให้มีความดันและสภาวะสุญญากาศที่เหมาะสมจากนั้นจึงเคลื่อนย้ายชิ้นงานต่อไปยังภายในห้องอินโทรีดักชัน ชิ้นงานจะผ่านกระบวนการทำความสะอาดเบื้องต้นหรือที่เรียกว่า "pre-heat" กระบวนการ pre-heat จะเริ่มต้นจากการให้ความร้อนชิ้นงานในอัตราคงที่จนถึง 450°C จึงทิ้งค้างที่อุณหภูมินี้ 1 ชั่วโมงจากนั้นจึงค่อยๆ ลดลงด้วยอัตราใน

ลักษณะเดิมกับที่เพิ่มขึ้นจนถึง 30°C ดังแสดงในรูปกราฟที่ 3.12 เมื่อชิ้นงานผ่านกระบวนการ pre-heat จะมีความสะอาดในระดับหนึ่ง จากนั้นจึงส่งชิ้นงานต่อไปยังห้องส่งผ่านและห้องปลูก ตามลำดับ

ภายในห้องปลูกชิ้นงานจะผ่านกระบวนการเตรียมพิ华หน้าก่อนที่จะปลูกซึ่งเป็นขั้นตอนที่เรียกว่า ขั้นตอน "de-ox" ดังแสดงในรูปที่ 3.13 ขั้บสเตรตจะถูกให้ความร้อนด้วยอุณหภูมิที่เพิ่มขึ้นอย่างคงที่ $30^{\circ}\text{C}/\text{min}$ จนถึง 300°C ชั้ตเตอร์ของเซลล์ As_4 จะถูกเปิดออกเพื่อให้ชิ้นงานอยู่ในบรรยากาศของไอ As_4 ซึ่งในที่นี้มีค่าประมาณ $8 \times 10^{-6} \text{ Torr}$ หรือประมาณ 15-25 เท่าของค่าแรงดันไอ BEP (Beam Equivalent Pressure) มากที่สุดของลำไนเดกูลของชาตุหมู่ III ซึ่งในที่นี้คือแรงดันไอของ Ga ซึ่งใช้ปลูกชั้นบัฟเฟอร์ ($3 \times 10^{-7} \text{ Torr}$) อุณหภูมิของขั้บสเตรตยังถูกเพิ่มขึ้นอีกเรื่อยๆ จนกระทั่งสังเกตเห็นลดลายการเลี้ยวเบน (diffraction pattern) บนจาก RHEED (RHEED screen) ซึ่งเป็นรูปแบบที่ปรากฏให้เห็นเมื่อออกไซด์ได้ หลุดออกจากผิวน้ำของชิ้นงาน ค่าอุณหภูมิตั้งกล่าว (T_{deox}) ซึ่งถูกวัดโดยเทอร์โมคัปเปลจถูกบันทึกเป็น อุณหภูมิอ้างอิงที่ 580°C ของผิวน้ำเพื่อใช้ในการปลูกชั้นบัฟเฟอร์ต่อไปจากนั้นจึงเพิ่มอุณหภูมิขึ้นอีก 30°C และคงอุณหภูมิทิ้งไว้จนกว่าปริมาณออกไซด์ซึ่งแสดงโดย mass spectrometer จะลดลงถึงใน ระดับที่ยอมรับได้ จากนั้นจึงลดอุณหภูมิมาที่ T_{deox} ขั้นสุดท้ายจึงทำการปลูกบัฟเฟอร์ (buffer) ของ GaAs ความหนา 300 nm ที่อุณหภูมิ 580°C หรือ T_{deox} ตั้งกล่าว เพื่อปรับพื้นผิวให้มีความเรียบก่อนทำการ ปลูกจริง



รูปที่ 3.12 ไฟฟ์อุณหภูมิ (Temperature profile) ของกระบวนการทำ pre-heat

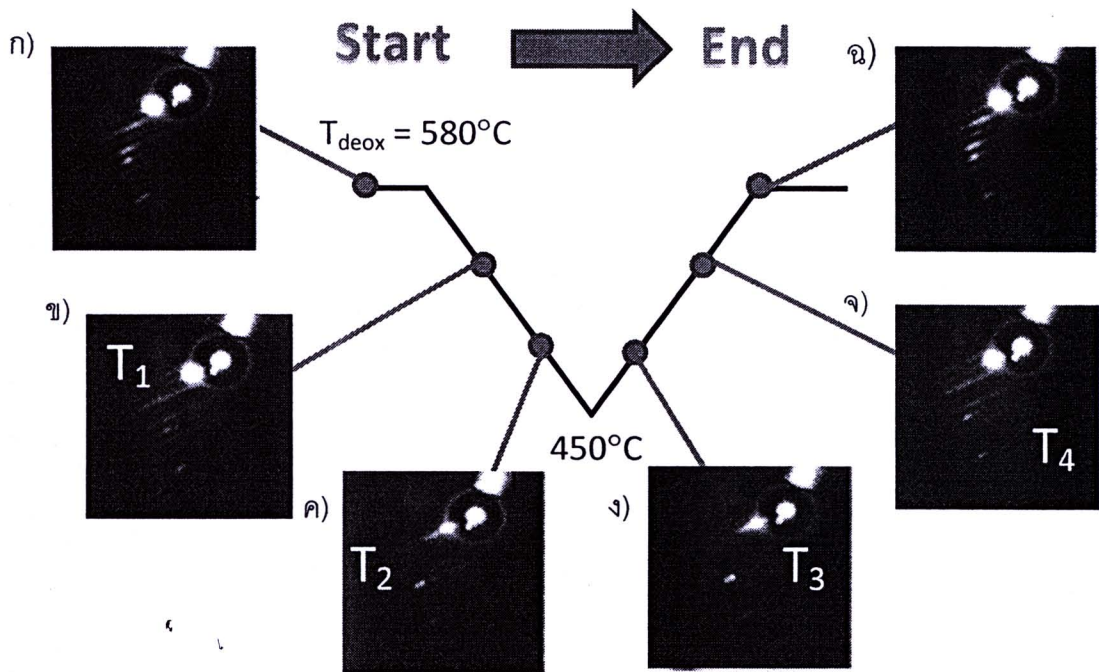


รูปที่ 3.13 ไฟล์อุณหภูมิของขั้นตอนการทำการ De-Ox พร้อมกระบวนการเปิดปิดชัตเตอร์

3.4 การวัดเทียบอุณหภูมิ

เนื่องจากค่าอุณหภูมิที่วัดได้โดย Thermocouple ไม่ใช่ค่าที่แท้จริงของผิวน้ำ substrate ทำให้จำเป็นต้องหาค่าอุณหภูมิดังกล่าวเพื่อใช้ในการปลูกอินๆ RHEED pattern เป็นวิธีหนึ่งที่สามารถที่ใช้หาอุณหภูมิผิวน้ำของชั้บสเตรตได้โดยพิจารณาวัฏจักรการเปลี่ยนแปลง RHEED pattern ที่อุณหภูมิใดๆ มีความสัมพันธ์กับอุณหภูมิชั้บสเตรต ซึ่งจำเป็นต้องขึ้นกับความดันไอ As₄ ในขณะนั้นด้วย ค่าอุณหภูมิที่ได้จากการเปลี่ยนแปลง RHEED pattern คือค่าอุณหภูมิ Transition (T_{trans}) การหาค่า T_{trans} เริ่มต้นหลังจากปลูกบัฟเฟอร์ GaAs ที่อุณหภูมิ T_{deox} ซึ่งเทียบเท่าอุณหภูมิ 580 °C จากนั้นจึงเริ่มลดอุณหภูมิในช่วงแรกและเพิ่มอุณหภูมิในช่วงหลังกลับมาเท่าเดิมที่ T_{deox} ดังแสดงในรูปที่ 3.14 รูปแบบของ RHEED pattern จะเปลี่ยนแปลงไปโดยตลอดเมื่ออุณหภูมิเปลี่ยน

ในช่วงแรก RHEED pattern จะปรากฏในรูปแบบ C(2x4) (รูปที่ 3.14 ก)) ซึ่งเป็นรูปแบบ RHEED ทั่วไปของชั้น GaAs หลังจากทำการปลูกบัฟเฟอร์ เมื่อเราทำการลดอุณหภูมิของชั้บสเตรต ลงอย่างคงที่ (10 °C/min) RHEED pattern จะเปลี่ยนจาก C(2x4) เป็นรูปแบบในรูป 3.14 ข) ค่า T_1 จะถูกบันทึก หลังจากนั้นเมื่ออุณหภูมิของชั้บสเตรต ลดลงอีก RHEED pattern จะเปลี่ยนเป็นอีกรูปแบบหนึ่งคือ ในรูป 3.14 ค) หรือ C(4x4) ค่าอุณหภูมิที่ได้ขณะนี้คือ T_2 ซึ่งเมื่ออุณหภูมิลดลงจนถึง 450 °C อุณหภูมิจะถูกปรับให้สูงขึ้นในอัตราที่เท่ากันกับตอนที่ลดลง รูปร่างของ RHEED pattern จะเริ่ม



รูปที่ 3.14 ภาพ RHEED patterns ที่ได้จาก RHEED Screen ของการเปลี่ยนแปลง RHEED pattern จาก C(2x4) ไปเป็น C(4x4) ของพิんผิว GaAs ในการหาค่าอุณหภูมิ transition โดยเรียงลำดับจากรูป ก-ก

เปลี่ยนแปลงตัวเองอีกรั้งจนมาถึงอุณหภูมิ T_3 รูป RHEED pattern จะปรากฏในรูป 3.9 ง) และขั้นสุดท้ายเมื่อเพิ่มอุณหภูมิจนถึงประมาณค่าที่ใช้ในการปลูกบัฟเฟอร์เดิม RHEED pattern จะเริ่มเปลี่ยนกลับมาเช่นเดิมในรูปแบบ C(2x4) ในรูปที่ 3.14 ก) ที่อุณหภูมิ T_4 ค่า T_1, T_2, T_3 และ T_4 ที่ได้นั้นจะถูกนำมาหาค่าเฉลี่ย ซึ่งค่าที่ได้จะถูกใช้อ้างอิงกับอุณหภูมิ 500°C จากนั้นจึงปรับอุณหภูมิของชั้บสเตรตมาที่อุณหภูมิ $T_{\text{de-ox}}$ อีกรั้งเพื่อทำการปลูกบัฟเฟอร์และดำเนินขั้นตอนการปลูกในขั้นตอนต่อๆไป

3.5 การวัดเทียบอัตราการปลูก

ในการปลูกได้จำเป็นต้องทราบอัตราการปลูกของสารที่ใช้ เพื่อจะสามารถกำหนดความหนาและสัดส่วนของสารประกอบในแต่ละขั้นได้อย่างแม่นยำ อัตราการปลูกของ GaAs และ InAs สามารถหาได้จากการพิจารณาค่ารวมเข้มของการกระพริบใน RHEED

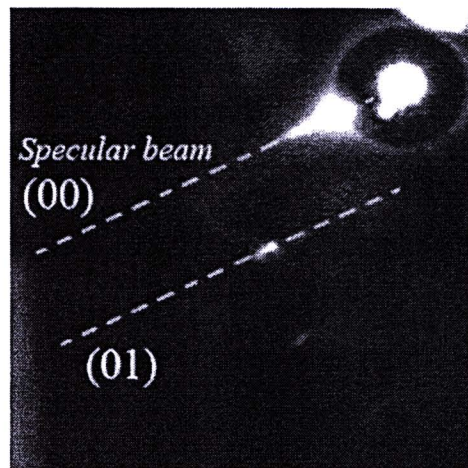
3.5.1 การหาอัตราการปลูกของ GaAs

ในการปลูก GaAs ซึ่งเป็นแบบ 2 มิติ หรือรั้นต่อรั้น มีวิธีการดังนี้คือหลังจากการทำการปลูกขั้นบัฟเฟอร์ของ GaAs แล้วปรับมาที่ค่าอุณหภูมิที่ต้องการปลูกพร้อมกับหยุดมอเตอร์แล้ว จึงทำการปรับหมุนชิ้นงานด้วยมือจนได้ zero-order diffracted RHEED beam ที่มีความเข้มสูงสุด (รูปที่ 3.15) จากนั้นจึงทำการปลูกขั้นบัฟเฟอร์ของ GaAs ลงไปบนชิ้นงาน ซึ่งขณะทำการปลูกจะสังเกตเห็นภาพบน RHEED screen มีการแกว่ง (oscillate) การแกว่งไปมาที่เกิดขึ้นเป็นผลจากการเปลี่ยนแปลงของผิวน้ำชิ้นงาน

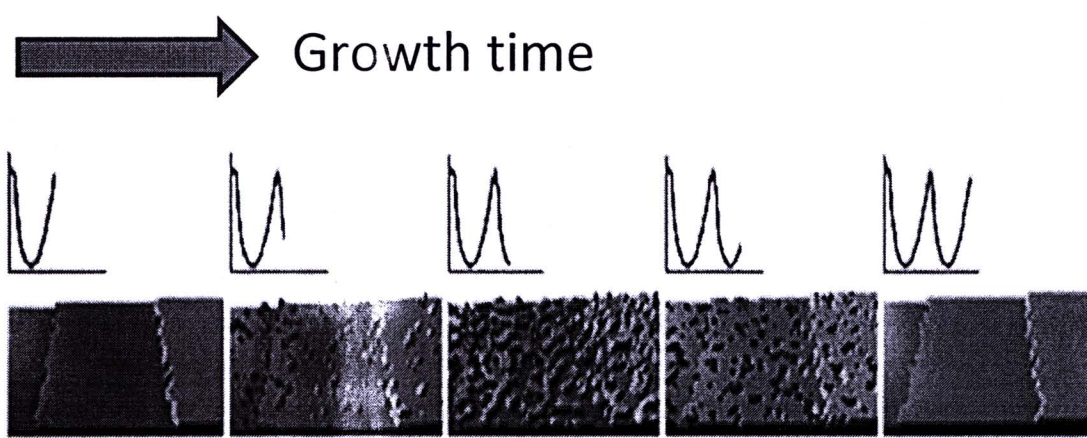
ดังแสดงในรูปที่ 3.16 ซึ่งการแก่วง 1 ครั้ง ประมาณเท่ากับความหนาชั้นบีฟเฟอร์ 1 Monolayer (ML) [71] ในการทำการวัดเที่ยบ (calibrate) จริงจะทำการจับเวลาที่ใช้ในการแก่วงของ RHEED screen 10 ครั้ง จากนั้นจึงนำเวลามาหาค่าอัตราการปลูกของ GaAs ที่ใช้ในขณะนั้นที่อุณหภูมิผิวน้ำดังกล่าว ดังสมการ

$$\text{อัตราการปลูก } GaAs = \frac{10}{\text{ระยะเวลาที่จับได้ตั้งแต่}} \quad (sec) \quad (3.2)$$

ซึ่งถ้ายังไม่ได้ตามค่าที่ต้องการจะทำการวัดเที่ยบ ในนั้นหรือใช้การประมาณแบบเชิงเส้นเข้าช่วยในกรณีที่ค่าที่ต้องการอยู่ระหว่างช่วงหรือค่าสองค่าที่ทำการวัดได้



รูปที่ 3.15 ตำแหน่งของ zero-order diffracted RHEED (00) beam บน RHEED Screen



รูปที่ 3.16 ลำดับขั้นต่างๆของการเกิดเกาะสองมิติ (2D islands) ของการปลูกชั้นต่อชั้นของ SrTiO₃ และความเข้มของ zero-order diffracted RHEED beam ที่เปลี่ยนแปลงไป [72]

3.5.2 การหาอัตราการปลูกของ InAs

การหาอัตราการปลูกของ InAs จะแตกต่างจากของ GaAs ที่ต้องใช้การกระพริบ แต่สำหรับการหาอัตราการปลูกของ InAs จะใช้การพิจารณารูปแบบของ RHEED pattern ที่เปลี่ยนไปแทน การวัดเทียบจะทำหลังจากการปลูกบัฟเฟอร์เมื่อน GaAs แต่ไม่ต้องหยุดมอเตอร์ โดยหลังจากปั้บคุณภาพนิพัทธ์ที่อุณหภูมิที่ต้องการจะทำการปลูกชั้น InAs ขึ้นบนพื้นผิว GaAs ของชิ้นงาน หลังจากเวลาปลูกผ่านไปสักพักจะเห็นรูปแบบของ RHEED Pattern ที่ค่อยๆเปลี่ยนไปจาก streaky (2D) ไปเป็น spotty (3D) ซึ่งจะทำการจับเวลาที่ใช้ทั้งหมดในการเปลี่ยนแปลงไปเป็นรูปแบบดังกล่าว ($2D \rightarrow 3D$) การคำนวณหาอัตราการปลูกจะทำได้อาศัยหลักการที่ว่า เวลาที่ใช้ในการเปลี่ยนรูปแบบ RHEED จาก 2 มิติ ไปเป็น 3 มิติ มีค่าเท่ากับปลูกได้ความหนา 1.7 ML [73] ดังนั้นอัตราการปลูกของ InAs จึงเท่ากับ

$$\text{อัตราการปลูก } InAs = \frac{1.7}{\text{ระยะเวลาที่จำเป็นตั้งหนด(sec)}} \quad (ML/s) \quad (3.3)$$

3.6 การปลูกชั้นผลึก

ชั้นผลึกที่ปลูกเพื่อศึกษาในวิทยานิพนธ์ฉบับนี้มีทั้งหมด 5 ชนิดตามโครงสร้างที่สนใจ ได้แก่ ชั้นบัฟเฟอร์ ชั้นลายตาราง ชั้น GaAs Spacer ชั้นควบคุมตั้งดอต และชั้นกลบทับ แต่ละชั้นประกอบขึ้นจากสารประกอบหลักๆชนิดใดชนิดหนึ่งจาก 3 ชนิดคือ GaAs, InGaAs และ InAs ทุกๆชั้นล้วนมีความสำคัญและมีคุณสมบัติเฉพาะตัวของตนเอง การปลูกชั้นต่างๆมีความแตกต่างกันสามารถอธิบายได้ดังนี้คือ

3.6.1 ชั้นบัฟเฟอร์

ชั้นบัฟเฟอร์ เป็นชั้นผลึกของ GaAs ที่มีความหนา 300 nm ปลูกขึ้นเพื่อทำหน้าที่ปรับสภาพพื้นผิวของแผ่นฐาน GaAs เเดิมให้มีความเรียบมากยิ่งขึ้นก่อนจะทำการปลูกชั้นต่อไป คุณสมบัติโดยทั่วไปของชั้นคล้ายกับก้อนผลึก GaAs เนื่องจากเป็นชั้นที่มีความหนามากระดับหนึ่ง การปลูกชั้นบัฟเฟอร์ของ GaAs บนแผ่นฐาน GaAs ทำได้โดยการปล่อยไอของ Ga ออกจากเซลล์ของเครื่อง MBE ภายใต้บรรยากาศของ As_4 เมื่ออะตอมของ Ga ที่ปล่อยมาจากเซลล์มาถึงพิษหน้าชิ้นงาน ก็จะเกิดพันธะกับอะตอมของ As เกิดเป็นอะตอมของสารประกอบ GaAs ในเมกะบันผลึก GaAs เดิมบนแผ่นฐาน การปลูกชั้นบัฟเฟอร์จะทำที่อุณหภูมิพื้นผิว 580°C ที่อัตราการปลูก 0.6 ML/s

3.6.2 ชั้นลายตาราง

ชั้นลายตาราง (crosshatch layer) เป็นชั้นความเครียดที่เกิดจากการปลูกชั้นผลึก InGaAs ลงบนชั้นบัฟเฟอร์ GaAs ด้วยค่าคงตัวผลึกที่แตกต่างกันทำให้เกิดความเครียดขึ้นในระบบ ความไม่เข้ากันโครงผลึก (ϵ) ที่เกิดขึ้นในชั้นนี้ถูกออกแบบให้มีค่าน้อย (1.07%) โดยเลือกใช้สารที่มีค่าคงตัวผลึก

แตกต่างจากชั้นบัฟเฟอร์ไม่มาก คือ $In_{0.15}Ga_{0.85}As$ การเกิดชั้นผลึกจึงเป็นแบบสองมิติหรือรูปแบบ FM โดยตลอด

ความเครียดที่เกิดขึ้นในระบบแม่ว่าจะไม่พอที่สำหรับการเปลี่ยนการปลูกไปเป็น 3 มิติ แต่ทว่าความเครียดสะสมที่มากขึ้นตามความหนาที่เพิ่มขึ้นทำให้เกิด dislocation ขึ้นอันเป็นผลจากความต้องการลดความเครียดสะสมในระบบ dislocation ที่เกิดขึ้น ทำให้ผิวน้ำของชั้นสารเปลี่ยนแปลงไปเป็นรูปหลายตารางไว้ใช้ในการจัดเรียงตัวครองตั้มดอต ซึ่งได้กล่าวถึงโดยละเอียดในบทที่ 2 (หัวข้อที่ 2.3.2.2.2) เมื่อจากลายตารางเกิดจากการคลายตัวของพลังงานความเครียดในระบบเมื่อชั้นมีความหนามากขึ้น ดังนั้นเพื่อให้ได้ลายตารางดังที่ต้องการจำเป็นต้องกำหนดความหนาของชั้นให้เหมาะสมโดยพิจารณาจากค่าความหนานวิกฤติเป็นสำคัญ ความหนาของชั้นลายตารางที่ดีควรมีค่าอยู่ระหว่างค่าความหนานวิกฤติ (h_c) และค่าความหนาทวีคูณ (h_p) ซึ่งมีค่า 10 nm และ 76 nm [33] ตามลำดับ ความหนาในช่วงดังกล่าวเป็นความหนาที่สามารถควบคุมลักษณะการเกิดของลายตารางบนผิวน้ำได้ ความหนาของชั้น $In_{0.15}Ga_{0.85}As$ ที่ใช้คือ 50 nm จึงเป็นความหนาของชั้นที่เหมาะสมและก่อให้เกิดลายตารางที่ควบคุมได้

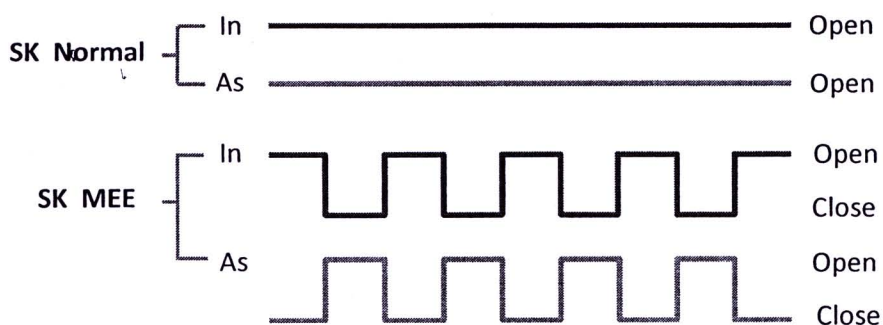
กระบวนการปลูกชั้นลายตารางของ InGaAs บน GaAs เนื้อริการเปิดม่านชั้นเตอร์ของเซลล์ In และ Ga พร้อมกันภายใต้บรรยายกาศของ As_4 ที่ 500°C หรือ T_{trans} ทำให้เกิดเป็นชั้น InGaAs ขึ้น แต่ต้องคำนึงอัตราส่วนของ In ต่ออัตราส่วนของ Ga ซึ่งควรมีค่าไม่มากเกินไปตามสัดส่วนที่ได้จากการคำนวณโดยเปิดทิ้งไว้จนได้ความหนาตามต้องการ (จากการคำนวณร่วมกับการวัดเทียบ (calibrate)) จากนั้น จึงปิดม่านชั้นเตอร์ของเซลล์ In และ Ga ทันที ส่วน As_4 ให้เปิดทิ้งไว้ตามปกติ ก็จะได้ผิวน้ำที่เป็นชั้นลายตารางที่ต้องการ

3.6.3 ชั้น GaAs spacer

ชั้น GaAs spacer เป็นชั้นที่ใช้ในการปรับปรุงแผ่นฐานเสมอ 만약ตารางในเรื่องของ dislocation ดังที่ได้กล่าวไว้ในบทที่ 2 ลักษณะการปลูกคล้ายกับการปลูกชั้นบัฟเฟอร์ คือการปล่อยلامเล็กๆ ของ Ga ภายใต้บรรยายกาศของ As_4 ไปบนผิวน้ำของชิ้นงาน แต่จะกระทำที่อุณหภูมิ 500 °C แทน 580 °C เพื่อที่จะสร้างชั้นของ GaAs' แต่มีอัตราการปลูกที่ช้ากว่า (0.1 ML/s) ในส่วนของชั้นนี้จะมีการปรับแต่งในเรื่องของความหนาของชั้นเป็นสำคัญ

3.6.4 ชั้นควบคุมตั้มดอต

ชั้นควบคุมตั้มดอตเป็นชั้นที่เกิดขึ้นจากการปัลส์ InAs ลงบนแผ่นฐานในโหมดการปัลส์แบบ SK โดยแบ่งออก 2 ชนิดคือ SK ปกติ และ SK แบบ Migration Enhance Epitaxy (MEE) ซึ่งทั้งสองชนิด แตกต่างกันตามลักษณะการเปิดปิดชั้ตเตอร์สาร In และสาร As ขณะปัลส์ควบคุมตั้มดอต ดังแสดงในรูปที่ 3.17 ใน การปัลส์ควบคุมตั้มดอตชนิด SK แบบปกติ ชัตเตอร์ของ In และ As จะถูกเปิดอยู่ตลอดเวลาขณะ ปัลส์ แต่การปัลส์ใน SK แบบ MEE ชัตเตอร์ของ In และ As จะถูกเปิดปิดสลับกัน การปัลส์ในแบบ SK ทั้งสองมีเงื่อนไขการปัลส์ที่เหมือนกัน ดังแสดงแผนภาพสภาวะสมดุลในรูปที่ 3.18 คือต้องทำให้ E และ H (ความหนาวยิกฤติ) อยู่ในช่วง SK, หรือ SK_2 โดยจะให้อยู่ในช่วง SK, เป็นสำคัญ

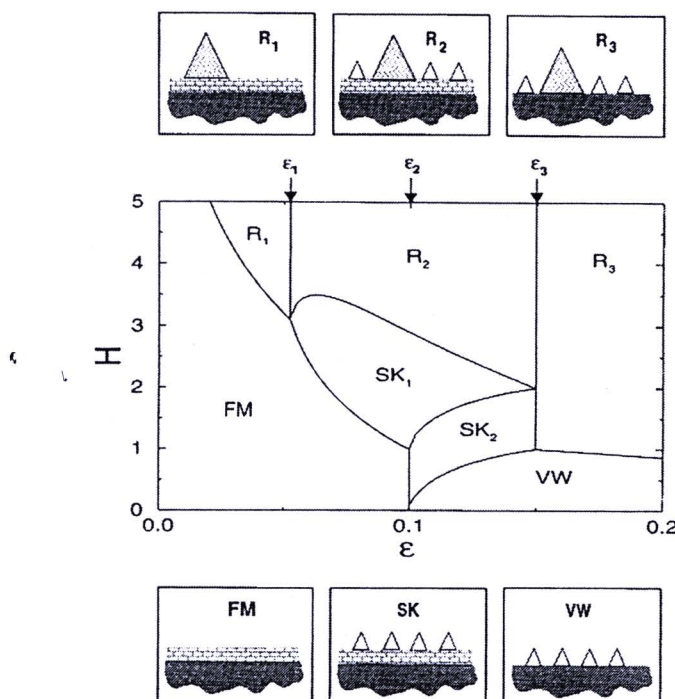


รูปที่ 3.17 ลักษณะการเปิดและปิดชัตเตอร์ของ In และ As ของการปัลส์ InAs ควบคุมตั้มดอตแบบ SK แบบปกติและ SK แบบ MEE

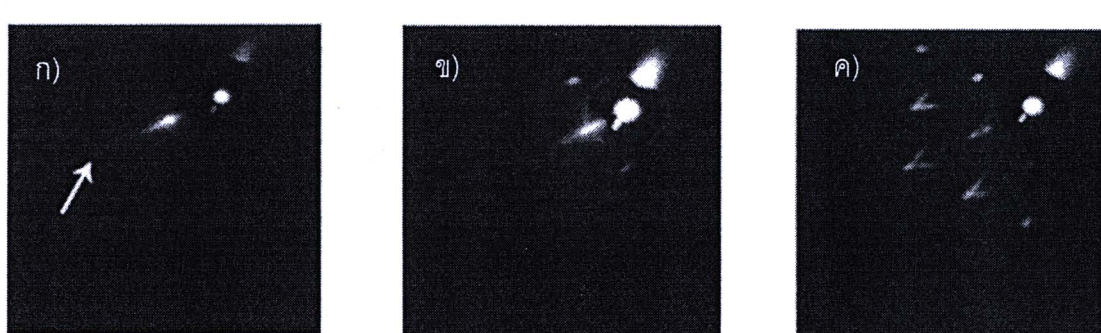
การเกิดควบคุมตั้มดอตแบบ SK, จะเกิดขึ้นของสารใน 2 มิติ ก่อนคือมี Wetting layer หนา ประมาณหนึ่งก่อน จากนั้นการปัลส์จะเปลี่ยนเป็นแบบ 3 มิติ และเริ่มเกิดควบคุมตั้มดอตขึ้นในที่สุด การ สังเกตการเปลี่ยนแปลงดังกล่าวหรือการเกิดควบคุมตั้มดอตสามารถกระทำได้โดยอาศัยภาพจาก RHEED เป็นตัวตัดสินใจ

ลักษณะภาพของ RHEED ขณะเปลี่ยนแปลงควบคุมตั้มดอต ดังแสดงในรูปที่ 3.19 โดยเริ่มแรก ขณะเปลี่ยนจากโหมดการปัลส์จาก 2 มิติไปเป็น 3 มิติ ภาพของ RHEED จะเปลี่ยนจาก streaky pattern ไปเป็น spotty pattern หลังจากนั้นเมื่อสังเกตบริเวณใกล้กับ Specular beam ตรงที่ลูกศรที่ในรูปที่ 3.19 ก) จะเริ่มเห็นจุดสว่างขึ้นมา จุดสว่างดังกล่าวแสดงให้รู้ว่าควบคุมตั้มดอตเริ่มเกิดขึ้นบ้างบนผิวน้ำ ซึ่งถ้า หากปัลส์ควบคุมตั้มดอตต่อไป ควบคุมตั้มดอตจะเริ่มมีจำนวนมากขึ้นและขนาดยิ่งใหญ่ขึ้นผลที่ได้คือ ลักษณะภาพของ RHEED pattern จะเปลี่ยนอีกริ้วหนึ่ง โดยจะสังเกตเห็น Chevron pattern ทางๆ เกิดขึ้น (รูปที่ 3.19 ข)) โดยชัดเจนมากขึ้นเมื่อทำการปัลส์ต่อไปเรื่อยๆ ดังปรากฏในรูปที่ 3.19 ค) แสดงถึง การมีควบคุมตั้มดอตอยู่มากบนผิวน้ำ Chevron pattern เป็นอีกรูปแบบหนึ่งของภาพ RHEED ที่แสดงให้

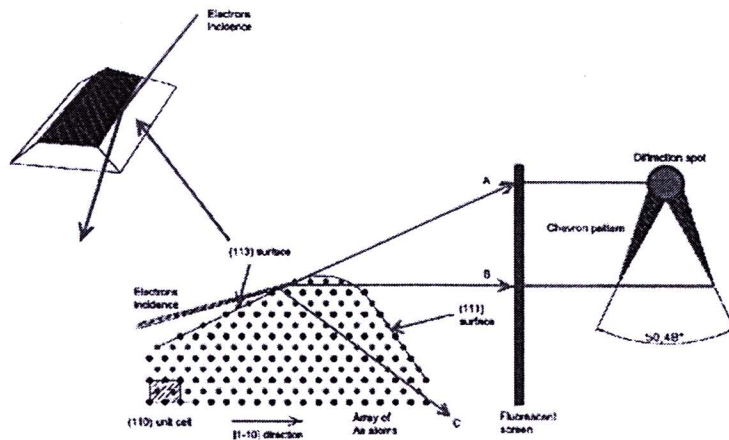
เห็นการมีอยู่ของความตั้งต้มดอตอย่างชัดเจน โดยความตั้งต้มดอตที่เกิดขึ้นจำเป็นที่จะต้องมีความสูงมากพอ เพื่อให้เกิดลักษณะของลวดลายการเลี้ยวเบนดังกล่าว (รูปที่ 3.20) ความตั้งต้มดอตที่ปัจจุบันในการทดลอง ทั้งหมดเป็นความตั้งต้มดอต InAs โดยจะกระทำการปัจจุบันด้วยความหนาเทียบเท่า ~1.8 ML ที่ 500 °C ด้วย อัตราการปัจจุบัน 0.01 ML/s



รูปที่ 3.18 แผนภาพเฟสสมดุล (Equilibrium phase diagram) ในรูปของฟังก์ชันระหว่าง H กับ ϵ โดย ภาพประกอบด้านบนและล่างแสดงถึงลักษณะของผิวน้ำของโนมดต่างๆ ทั้ง 6 โนมด สามเหลี่ยมเล็กสี ขาวแทนโครงสร้างเก่าสามมิติที่มีเสถียรภาพ สามเหลี่ยมใหญ่รabay สีเขียวในแทนโครงสร้างเก่าสาม มิติที่โตเต็มที่ (Ripening island) เฟสแต่ละรูปแบบถูกแบ่งด้วยเส้นขอบเขต $H_c(\epsilon)$: FM-R1, FM-SK1; $H_{c2}(\epsilon)$: SK1-R2; $H_{c3}(\epsilon)$: SK2-SK1; $H_{c4}(\epsilon)$: VW-SK2,VW-R3 [75]



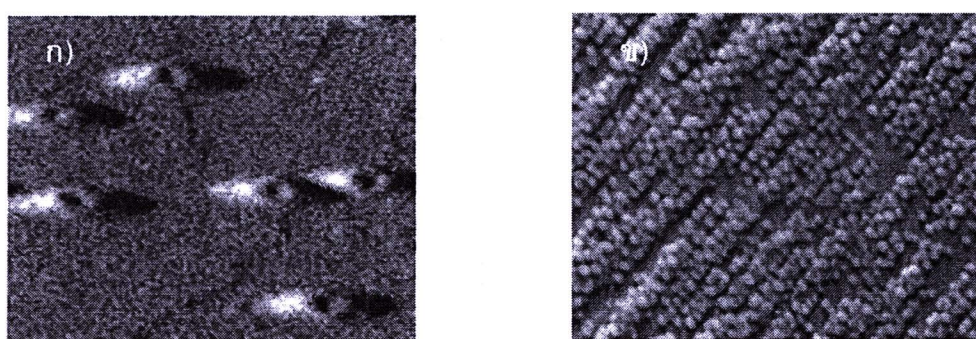
รูปที่ 3.19 ภาพจาก RHEED screen ขณะปัจจุบันความตั้งต้มดอต InAs บนแผ่นฐานลายตาราง $In_{0.15}Ga_{0.85}As/GaAs$ ก) เมื่อเริ่มเกิดความตั้งต้มดอต ข) เกิดความตั้งต้มดอตแล้ว ค) Chevron pattern [74]



รูปที่ 3.20 ความสัมพันธ์ของ Chevron pattern ต่อลักษณะทางกายภาพของความตั้มดอต [75]

3.6.5 ชั้นกลบทับ

ชั้นกลบทับ (capping layer) ถูกใช้เพื่อกลบทับชั้นบนสุดของโครงสร้างเพื่อกำจัดสถานะกับดัก (Trap) ที่ผิด โดยสถานะดังกล่าวจะรบกวนคุณภาพการเปล่งแสงของชิ้นงานเนื่องจากตัวมันเองมีการรวมตัวของพาราเบนไม่เปล่งแสง (Non-radiative recombination) ชั้นกลบทับจึงเป็นชั้นที่มีความสำคัญโดยเฉพาะในชิ้นงานที่ต้องการปลูกเพื่อวัดผลการเปล่งแสง ในบางกรณีอาจจำให้ชั้นกลบทับเพื่อจุดประสีคือ ดังแสดงในรูปที่ 3.21 เช่น การกลบทับความตั้มดอตเพื่อเปลี่ยนรูปร่างเช่น ใช้สร้างหลุมนาโน (Nanohole) [76] (รูปที่ 3.21 ก)) หรือ โครงสร้างความตั้มดอตโมเลกุล (Quantum dots molecule) [77] (รูปที่ 3.21 ข)) เป็นต้น การปลูกชั้นกลบทับโดยทั่วไปทำได้โดยการเปิดชั้ตเตอร์ของ Ga ในบรรยายกาศของ As₄ เช่นเดียวกับการปลูกชั้นบัฟเฟอร์และชั้น GaAs spacer แต่มีความหนาที่น้อยลงมาคือ 100 nm และทำการปลูกที่ 500 °C



รูปที่ 3.21 ก) การกลบทับเพื่อทำ Nanohole ข) การกลบทับแบบบางสำหรับปลูกโครงสร้างความตั้มดอตความหนาแน่นสูง [77]